



## اثر توامان وین‌بلاستین و ستروولیکس بر اسپرماتوژنر و میزان آپوپتوز در بیضه موش سوری

مینا رمضانی<sup>۱\*</sup>، داریوش محمدنژاد<sup>۲</sup>، آرزو حمزه‌زاده<sup>۳</sup>

۱- گروه زیست‌شناسی، واحد آشتیان، دانشگاه آزاد اسلامی، آشتیان، ایران

۲- گروه آناتومی و علوم تشریح، دانشگاه علوم پزشکی تبریز، تبریز، ایران

۳- گروه علوم جانوری، دانشگاه پیام نور تهران، تهران، ایران

\* مسئول مکاتبات: mina.ramezani@gmail.com

تاریخ پذیرش: ۹۴/۱/۶

تاریخ دریافت: ۹۳/۸/۲۲

## چکیده

امروزه بسیاری از زوج‌های جوان با مشکل ناباروری مواجه هستند که یکی از دلایل شناخته شده آن شیمی درمانی در مردان مبتلا به سرطان است که باعث اختلالاتی در روند اسپرماتوژنر می‌شود. از آنجا که سلول‌های در حال تقسیم مثل سلول‌های اسپرماتوژنیک بیشتر تحت تأثیر داروهای ضدسرطان قرار می‌گیرند، هدف از این مطالعه بررسی اثر ممانعتی آنتاگونیست‌های GnRH بر نقص ایجاد شده بوسیله داروهای شیمیایی ضدسرطان است. در این مطالعه که بر روی ۳۰ موش ماده بالغ ۶ تا ۸ هفتگه‌ای انجام شد، موش‌ها به سه گروه کنترل، گروه آزمایشی ۱ و گروه آزمایشی ۲ تقسیم شدند. در گروه آزمایشی ۱، وین‌بلاستین (داروی شیمی درمانی) روزانه با دوز ۰/۲۵ میلی‌گرم بر کیلوگرم به مدت ۵ روز به صورت داخل صفاقی تزریق شد. در گروه آزمایشی ۲، دوز مساوی از ستروولیکس به عنوان آنتاگونیست GnRH، سه بار در هفته و یک هفته قبل از تیمار با وین‌بلاستین تزریق شد و به مدت سه هفته تزریق آن ادامه داشت. موش‌ها در همه گروه‌ها سه هفته پس از آخرین تزریق ستروولیکس کشته شدند. نمونه‌های بافت بیضه برای مطالعه با میکروسکوپ نوری تهیه شدند. مطالعات میکروسکوپی نشان داد که در گروه کنترل میانگین تعداد سلول‌های سرتولی و اسپرماتوگونی به ترتیب،  $8/2 \pm 0/87$  و  $56 \pm 4/9$  بودند. در گروه آزمایشی ۱ میانگین تعداد این سلول‌های  $18/6 \pm 2/43$  و  $39/8 \pm 2/46$  بودند. در گروه آزمایشی ۲ نیز میانگین تعداد این سلول‌ها به ترتیب،  $9/2 \pm 0/87$  و  $3/32 \pm 0/54$  بود. داده‌ها نشان داد که تفاوت بین کنترل و گروه آزمایشی ۱ معنی‌دار بود اما تفاوتی بین کنترل و گروه آزمایشی ۲ وجود نداشت. شاخص اسپرماتوژن (SI) و فطر اپتیموم زاینده در گروه کنترل به ترتیب،  $\pm 0/2$  و  $161/2 \pm 8/14$  و  $9/42 \pm 168/8$  بودند. در گروه آزمایشی ۱،  $17/8 \pm 0/17$  و  $0/45 \pm 9/45$  و در گروه آزمایشی ۲،  $16/2 \pm 0/16$  و  $0/62 \pm 0/10$  بودند. داده‌ها نشان داد که تفاوت بین کنترل و گروه آزمایشی ۱ معنی‌دار بود اما تفاوتی بین کنترل و گروه آزمایشی ۲ وجود نداشت. نتایج نشان داد که تجویز آنتاگونیست GnRH قبل از شیمی درمانی می‌تواند از عوارض جانبی داروهای شیمیایی ضدسرطانی جلوگیری کند.

کلمات کلیدی: آنتاگونیست GnRH، شیمی درمانی، ستروولیکس، موش، وین‌بلاستین

## مقدمه

می‌شود. این داروها توانایی تشخیص سلول‌های سرطانی را از سلول‌های طبیعی ندارند، بنابراین زمانی که استفاده می‌شوند علاوه بر سلول‌های سرطانی، سایر سلول‌های بدن از جمله سلول‌های اسپرماتوژنیک را که سرعت تقسیم بالایی دارند مورد هدف قرار داده و از بین می‌برند. مطالعات نشان داده که از بین رفتن سلول‌ها به دنبال شیمی درمانی در اثر القاء آپوپتوز انجام می‌گیرد. آپوپتوز مرگ برنامه‌ریزی شده سلولی می‌باشد که در سلول‌ها و بافت‌های مختلف، هم در ضمن زندگی جنینی و هم بعد

بررسی‌های متعدد نشان داده‌اند که داروهای مورد استفاده در شیمی درمانی می‌توانند موجب آسیب و نازایی در انسان و حیوان گردند. همچنین نشان داده شده که تزریق این داروها در بیماران مذکور باعث اختلال در تولید گنادوتropین‌ها، آسیب بافت بیضه، کاهش میزان تستوسترون، اختلال در روند اسپرماتوژنر و آزواسپرمی می‌شود [۲۰، ۱۴]. سلول‌های در حال تقسیم از جمله اسپرماتوگونی‌ها و اووگونی‌ها نسبت به داروهای شیمی درمانی حساس بوده و این داروها موجب آسیب به آنها



موش‌ها در درجه حرارت حدود ۲۲ درجه سانتی‌گراد و تحت شرایط دوازده ساعت روشنایی و دوازده ساعت تاریکی نگهداری شدند و آب و غذای کافی در اختیارشان قرار داده شد. موش‌ها به طور تصادفی به سه گروه ده تایی: کنترل، آزمایش I و آزمایش II تقسیم شدند. گروه آزمایش I به مدت پنج روز متوالی، روزانه ۰/۲۵ میلی‌گرم بر کیلوگرم وین‌پلاستین را به عنوان داروی شیمی درمانی به صورت زیرجلدی دریافت کردند. این دوز براساس مطالعات قبلی انتخاب شده بود [۸]. گروه آزمایش II علاوه بر دریافت وین‌پلاستین، سترورلیکس را نیز به عنوان آنتاگونیست GnRH دریافت کردند. موش‌ها تعداد سه بار در هفته و هر بار ۰/۲۵ میلی‌گرم بر کیلوگرم سترورلیکس به صورت زیرجلدی دریافت کردند [۹]. تزریق سترورلیکس یک هفته قبل از توقف تزریق وین‌پلاستین شروع و تا یک هفته بعد از توقف تزریق وین‌پلاستین ادامه داشت. سی و پنج روز بعد از آخرین تزریق وین‌پلاستین، تمامی حیوانات تشريح شدند و بیضه‌ها جدا شدند. بیضه راست برای مطالعه کمی به مدت ۴۸ ساعت داخل فیکساتیو بوئن قرار داده شد و بیضه چپ جهت مطالعه اینتوهیستوژنیکی به مدت چهل و هشت ساعت در محلول فرمالدئید قرار گرفت. سپس نمونه‌ها از فیکساتیو خارج شده و پس از طی مراحل آماده‌سازی بافت از آنها برش‌های ۴ میکرونی توسط میکروتوم دور تهیه شد و جهت مطالعه با میکروسکوپ نوری، رنگ-آمیزی هماتوکسیلین – اثوزین انجام شد. برای اندازه‌گیری قطر لوله‌های سمنیفر از نرم‌افزار Motic Image Plus استفاده گردید. بدین منظور از مقاطع تهیه شده برای هر موش، در ۲۰ میدان با عدسی ۱۰ قطره‌ای عمود بر هم لوله‌های سمنیفر که بصورت عرضی مقطع خورده بودند اندازه‌گیری شد. سپس میانگین اقطار محاسبه شده و مورد تجزیه و تحلیل قرار گرفت. همچنین در این مقاطع عرضی لوله‌های سمنیفر، تعداد سلول‌های اسپرماتوگونی و سرتولی در ۲۰ میدان با عدسی ۴۰ مورد شمارش قرار گرفتند.

از تولد انجام می‌گیرد [۱۰]. وین‌پلاستین یکی از داروهایی است که امروزه در درمان انواع مختلفی از بدخیمی‌ها استفاده می‌شود. مطالعات متعدد بیانگر اثرات سوء عوامل مورد استفاده در شیمی درمانی از جمله وین‌پلاستین بر روی اپی‌تلیوم ژرمینال است [۲۱]. بنابراین برای جلوگیری از ناباروری، حفاظت از فرآیند اسپرماتوژن در موقع شیمی درمانی ضروری به نظر می‌رسد.

برای اولین بار در سال ۱۹۸۱ گلود و همکارانش بیان داشتند که می‌توان در موقع شیمی درمانی با اختلال در محور هیپوتالاموسی - هیپوفیزی، FSH و LH را کاهش داد و با این عمل موجب بهبود اسپرماتوژن بعد از قطع شیمی درمانی شد [۶]. روش‌های مختلفی برای مهار محور هیپوتالاموسی - هیپوفیزی وجود دارند، از جمله استفاده از آنالوگ‌ها و یا آنتاگونیست‌های GnRH [۱۵]. سترورلیکس یک آنتاگونیست GnRH و دارویی است که در درمان سرطان سینه و پروستات کاربرد زیادی دارد. همچنین در برخی بیماری‌های خوش‌حیم زنانه از جمله اندومتریوزیس، فیبرهای رحمی در زنان قبل از یائسگی استفاده می‌شود. مشاهده شده که تزریق آن به مردان باعث کاهش سطح تستوسترون شده و از طریق اثر مهاری بر روی GnRH که از هیپوفیز ترشح می‌شود باعث مهار LH و FSH می‌شود [۱۲].

بنابراین با استفاده از آنتاگونیست GnRH می‌توان موجب توقف ترشح FSH و LH شد و بدین وسیله موجب توقف تقسیم در سلول‌های اسپرماتوژنیک و در نهایت حفظ این سلول‌ها در برابر اثرات سوء داروهای شیمی درمانی شد. لذا هدف این پژوهش بررسی اثرات حفاظتی سترورلیکس به عنوان آنتاگونیست GnRH در مهار پرولیفراسیون و جلوگیری از تخریب سلول‌های بینایدی اسپرماتوژن پس از مصرف وین‌پلاستین است.

## مواد و روش کار

**حیوانات:** در این تحقیق از ۳۰ موش نر بالغ نژاد Balb/c که از انسیتو رازی تهران خریداری شده بود، استفاده شد.



شمارش سلول‌های قهقهه‌ای رنگ در مقطع عرضی ۲۰ لوله سمینیفر توسط میکروسکوپ نوری زایس با بزرگنمائی ۴۰ انجام شد [۱۷].

**آنالیز آماری:** داده‌های بدست آمده، به وسیله آنالیز واریانس و سپس آزمون توکی و با استفاده از نرم‌افزار آماری SPSS<sup>۱۳</sup> در هر سه گروه کنترل و آزمایش I و II مورد تجزیه و تحلیل قرار گرفت. سطح معنی‌داری  $p < 0.01$  در نظر گرفته شد.

## نتایج

بررسی برش‌های بیضه با میکروسکوپ نوری مشخص کرد که در گروه کنترل لوله‌های سمینی فر دارای اپی تلیوم ژرمنیال ضخیمی بودند که اسپرماتوژن به طور فعال در آنها انجام می‌گرفت (شکل ۱).

در گروه آزمایشی I، ضخامت اپی تلیوم اسپرماتوژنیک به شدت کاهش یافته بود و تشخیص مراحل مختلف اسپرماتوژن به علت تخرب اپی تلیوم تقریباً غیر ممکن بود و در لوله‌ها، اسپرم بالغی مشاهده نمی‌شد. هسته سلول‌های اسپرماتوگونی در ضخامت اپی تلیوم ژرمنیال واکوئل‌های بزرگی وجود داشتند که احتمالاً جای سلول‌های از بین رفته بودند (شکل ۲). در بعضی لوله‌های سمینیفر فقط سلول‌های سرتولی وجود داشتند (شکل ۳). در سلول‌های لایدیگ تغییرات مشخصی وجود نداشت.

در گروه آزمایش II، لوله‌های سمینی فر دارای اپی تلیوم ژرمنیال ضخیمی بودند که اسپرماتوژن به طور فعال در اکثر لوله‌ها قابل مشاهده بود و تشخیص مراحل مختلف اسپرماتوژن امکان پذیر بود. ولی هنوز در بین اپی تلیوم واکوئل‌های معادودی دیده شد و همچنین اسپرماتوژنی‌های دراز بذرگی درست نبود. (شکل ۴). برای تشخیص میزان آپوپتوز از کیت‌های تشخیص مرگ سلولی ODP استفاده شد. قطعات انتهای  $^{31}\text{OH}$ -ODP با استفاده از این کیت نشان‌دار شدند. هسته DNA سلول‌های آپوپتوزیک با استفاده از این کیت به رنگ قهقهه-

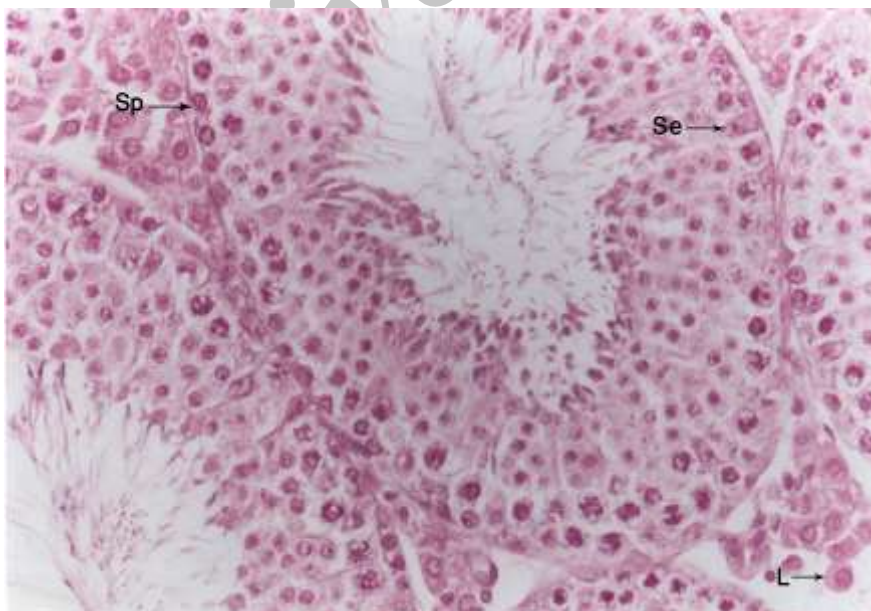
تعیین ضریب SI: این ضریب یعنی محاسبه نسبت لوله‌های سمینی فر که حاوی اسپرم مرحله چهارده به بعد هستند. اسپرماتیدها در موش به سه دسته تقسیم می‌شوند: اسپرماتیدهای گرد که در مرحله ۱ الی ۸ دیده می‌شوند و اسپرماتیدهای در حال دراز شدن که در مرحله ۹-۱۴ هستند و اسپرماتیدهای دراز که در مرحله ۱۵-۱۶ قرار دارند. برای تعیین SI در ۲۰ میدان میکروسکوپی برای هر نمونه، تعداد لوله‌های سمینیفر که حاوی اسپرم‌های دراز بودند، نسبت به سایر لوله‌های سمینیفر در میدان با عدسی ۴۰ مورد شمارش قرار گرفتند.

مشاهده آپوپتوز در برش‌های بافته با روش تانل: در این روش انتهای شکستهای در زنجیره DNA با استفاده از آنتی‌بادی و ماده کروموزن مربوطه نشاندار می‌گردند و بنابراین سلول‌های آپوپتوزیک بر اساس حضور ماده کروموزن به رنگ قهقهه‌ای در می‌آیند و به این طریق از سلول‌های نکروتیک و طبیعی مجزا می‌گردند. بدین منظور پس از دیارافینه کردن و آبدیهی نمونه‌ها در الکل‌های نزولی، لام مورد نظر در داخل محلول بافر سدیم سیترات  $\text{M}_\text{Na} = ۰.۱ \text{ pH} = ۶$  قرار داده و به مدت ۵ دقیقه داخل مایکروویو ( $۳۵۰\text{W}$ ) قرار می‌گیرد تا میزان نفوذپذیری آنتی‌زن‌ها افزایش یابد. سپس دو بار با PBS شستشو داده و جهت نفوذپذیری، لام مورد نظر به مدت دو دقیقه روی پیش انکوبه گردید. در مرحله بعد لام‌ها به مدت ۱۵ دقیقه در داخل محلول بلوکه کننده برای حذف سایر پراکسیدازها قرار گرفت و محلول تانل (ساخت کارخانه *DACO*) به میزان  $۵\text{mL}$  میکرولیتر بر روی هر نمونه افزوده شد و به مدت ۶۰ دقیقه در دمای  $۳۷^\circ\text{C}$  درجه سانتی‌گراد انکوبه گردید. جهت جلوگیری از خشک شدن این محلول، روی لام‌ها با پارافیلم پوشانده شد و به مدت ۳۰ دقیقه در دمای  $۳۷^\circ\text{C}$  درجه سانتی‌گراد انکوبه شد. پس از سه بار شستشو با PBS،  $۵\text{mL}$  میکرولیتر از ماده کروموزن DAB بر روی هر نمونه افزوده شد و به مدت ۵-۲۰ دقیقه در دمای  $۱۵-۲۵^\circ\text{C}$  درجه سانتی‌گراد انکوبه گردید و نهایتاً نمونه را سه بار با PBS شستشو داده شد و

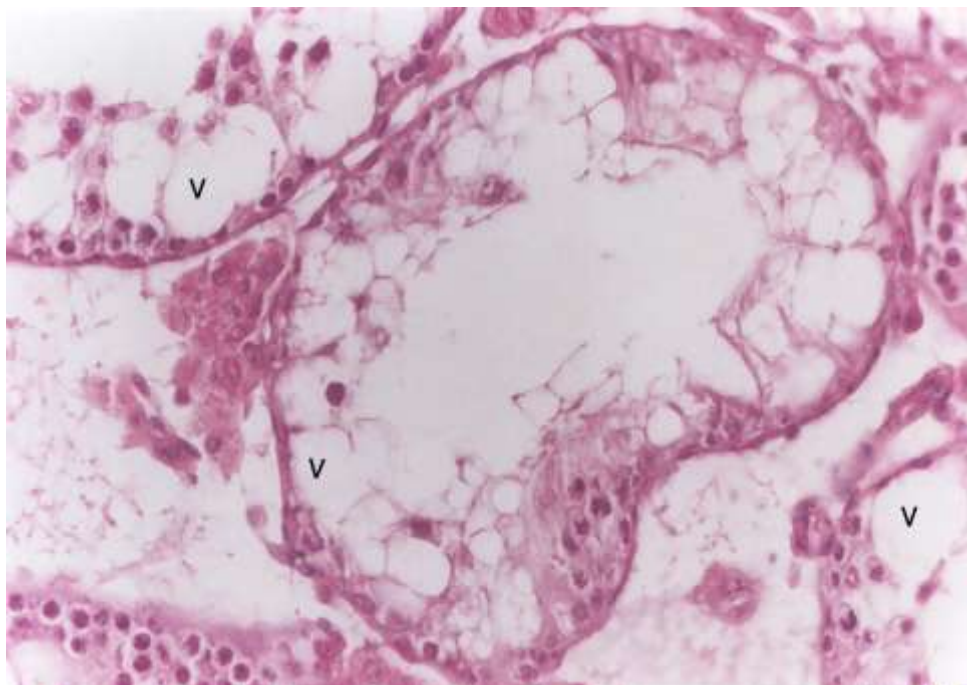


II، اختلاف معنی‌داری با گروه کنترل نداشت. میانگین تعداد سلول‌های سرتولی در گروه آزمایش I نسبت به گروه کنترل بطور معنی‌داری افزایش یافت ( $P<0.001$ ، ولی در گروه آزمایش II تعداد سلول‌های سرتولی اختلاف معنی‌داری با گروه کنترل نداشت. همچنین بررسی آماری تعداد سلول‌های سرتولی در گروه‌های آزمایش I و II نشان داد که تعداد سلول‌های سرتولی در گروه آزمایش I به طور معنی‌داری بیشتر از گروه آزمایش II بود ( $P<0.001$ ) (جدول 1). تعداد سلول‌های اسپرماتوگونی در گروه آزمایش I نسبت به گروه کنترل بطور معنی‌داری کاهش یافت ( $P<0.001$ ). ولی در گروه آزمایش II تعداد سلول‌های اسپرماتوگونی سرتولی اختلاف معنی‌داری با گروه کنترل نداشت. مقایسه گروه‌های آزمایش I و II نشان داد که تعداد سلول‌های اسپرماتوگونی در گروه‌های آزمایش II به طور معنی‌داری بیشتر از گروه آزمایش I بود ( $P<0.001$ ) (جدول 1).

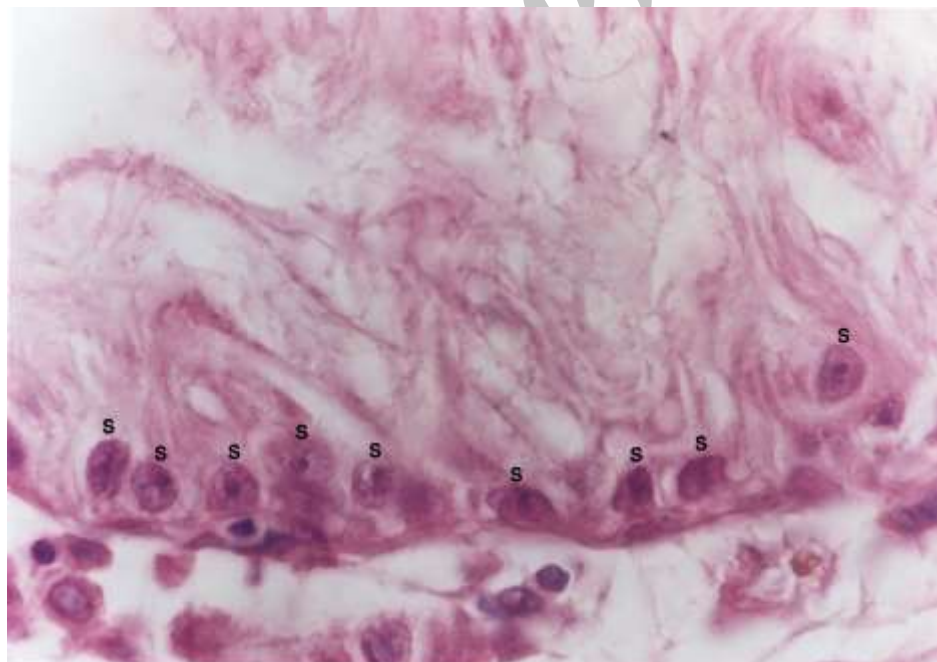
ای مشاهده شد و هسته سلول‌های طبیعی بی‌رنگ بودند (شکل ۵ و ۶). مقایسه میانگین سلول‌های آپوپتویک (تالن مثبت) نشان داد که سلول‌های تالن مثبت در گروه آزمایش I نسبت به گروه کنترل بطور معنی‌داری آزمایش (P<0.001) افزایش یافته است ولی در گروه آزمایش II تعداد سلول‌های آپوپتویک اختلاف معنی‌داری با گروه کنترل نداشت. همچنین تعداد سلول‌های تالن مثبت در گروه آزمایش II بطور معنی‌داری ( $P<0.001$ ) کمتر از گروه آزمایش I بود (جدول 1). قطر لوله‌های سمینیفر در گروه آزمایش I نسبت به گروه کنترل بطور معنی‌داری II ( $P<0.001$ ) کاهش یافته است ولی در گروه آزمایش II قطر لوله‌ها مشابه قطر لوله‌های گروه کنترل بود. همچنین بررسی آماری قطر لوله‌ها در گروه‌های آزمایشی I و II نشان داد که قطر لوله‌ها در گروه آزمایش II بطور معنی‌داری ( $P<0.001$ ) بیشتر از گروه آزمایش I می‌باشد (جدول 1). ضریب SI در گروه کنترل و آزمایش I اختلاف معنی‌دار داشتند ( $P<0.001$ ، ولی گروه آزمایش



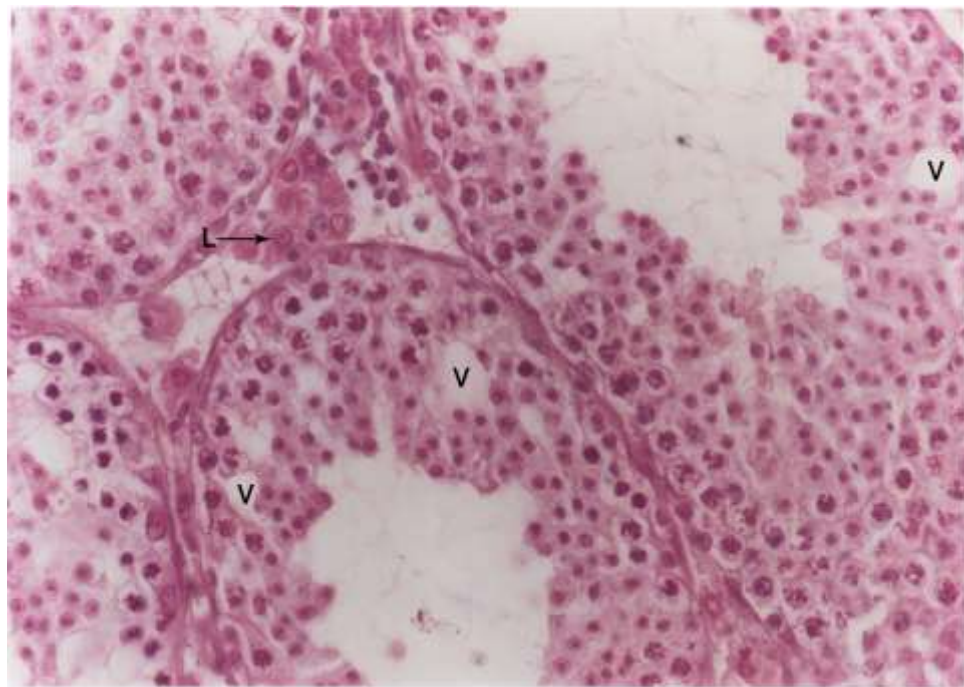
شکل ۱- فتو میکروگرافی از لوله‌های سمینیفر موش گروه کنترل. اسپرماتوژنر فعال درون لوله‌ها مشاهده می‌شود. سلول لایدیگ (L)، اسپرماتوگونی (SP)، سرتولی (Se)، رنگ آمیزی H&E. در شتنمایی ۶۶۰ برابر.



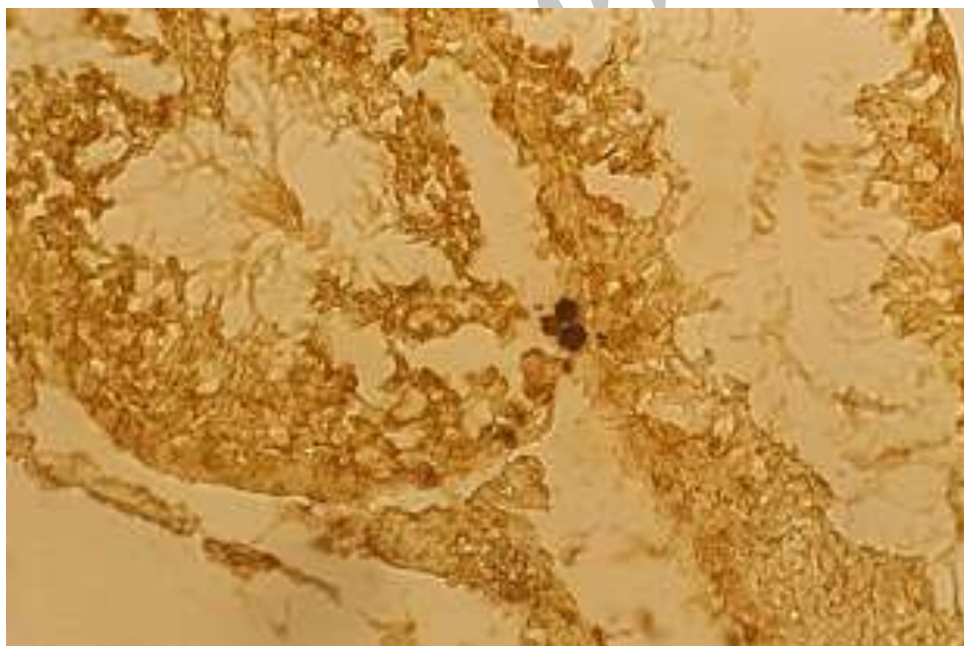
شکل ۲- فتو میکرو گرافی از لوله های سمینیفر موشی که وین بلاستین دریافت کرده است. به کاهش اپی تلیوم ژرمینال و واکوئل های درون لوله ها توجه شود. واکوئل (V). رنگ آمیزی H&E. درشت نمایی ۶۶۰ برابر.



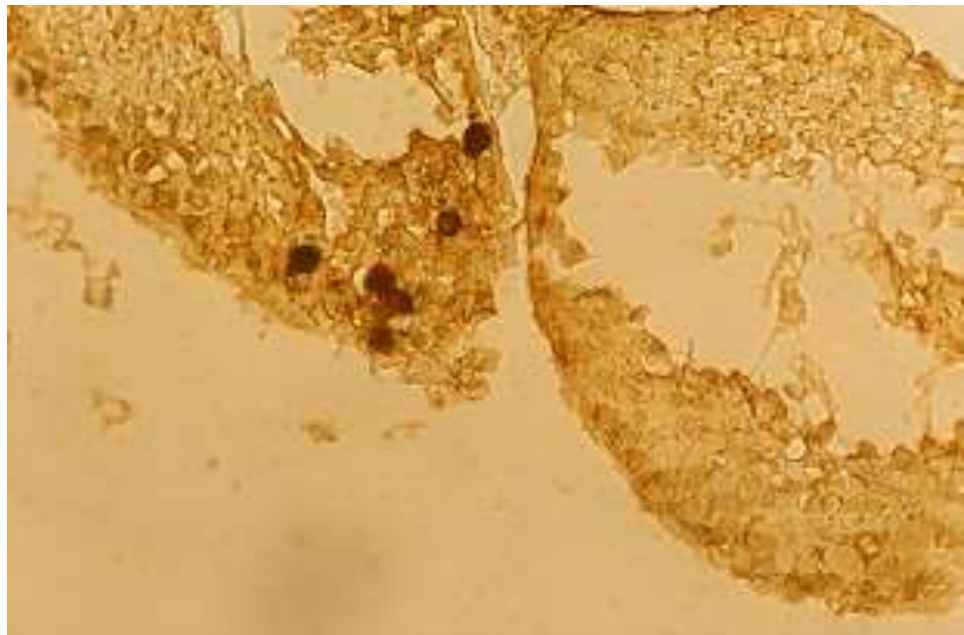
شکل ۳- فتو میکرو گرافی از لوله های سمینیفر موشی که وین بلاستین دریافت کرده است. در درون لوله ها فقط سلول های سرتولی دیده می شوند. سرتولی (S). رنگ آمیزی H&E. درشت نمایی ۱۶۵۰ برابر.



شکل ۴- فتو میکروگرافی از لوله های سمینیفر موشی که به همراه وین‌پلاستین، ستروولیکس نیز دریافت کرده است. واکوئل (V)، لایدیگ (L). رنگ آمیزی H&E. درشت‌نمایی ۶۶۰ برابر.



شکل ۵- فتو میکروگرافی از لوله های سمینیفر موش گروه کنترل. سلول در مرحله آپوپتوزیس. رنگ آمیزی تانل. درشت‌نمایی ۶۶۰ برابر.



شکل ۶- فتو میکرو گرافی از لوله های سمینیفر موشی که وین بلاستین دریافت کرده است. سلول در مرحله آپوپتوزیس. رنگ آمیزی تانل.  
درشت نمایی ۶۶۰ برابر.

جدول ۱- مقایسه برخی شاخص ها (میانگین  $\pm$  انحراف معیار) در برش های بافتی از لوله های سمینیفر گروه های کنترل و آزمایش

گروه ها	کنترل	آزمایش I	آزمایش II
قطر اپتیلیوم ژرمینال (میکرومتر)	$168/8 \pm 9/42$	$117/8 \pm 9/45$	$161/2 \pm 8/14$
تعداد سلول های سرتولی	$8/2 \pm 0/87$	$18/6 \pm 2/43$	$9/2 \pm 0/87$
تعداد سلول های اسپرماتوگونی	$56 \pm 4/9$	$39/8 \pm 2/46$	$54/8 \pm 3/32$
میانگین (SI)	$0/7 \pm 2/0$	$0/17 \pm 0/1$	$0/62 \pm 0/16$
تعداد سلول های آپوپتوزیک	$6/1 \pm 1/19$	$10/6 \pm 2/11$	$7/3 \pm 1/05$

\* ( $P < 0.001$ ) اختلاف معنی دار گروه آزمایش I و کنترل. \* ( $P < 0.001$ ) اختلاف معنی دار گروه آزمایش I و II.

## بحث

در گروه آزمایش I یعنی گروهی که وین بلاستین دریافت کرده بودند، ضخامت اپی تلیوم ژرمینال به شدت کاهش یافته و از طرفی، افزایش میزان آپوپتوز در سلول های اسپرماتوگونی و هیپرکروم بودن هسته این سلول ها نشان دهنده اثرات سوء وین بلاستین بر سلول ها و فرآیند میتوز می باشد [۱۱]. سایر محققین نیز افزایش آپوپتوز و تعییرات در DNA بدنبال استفاده از وین بلاستین را گزارش کرده اند. بطوریکه Print در سال ۲۰۰۰ و Francavilla در

مطالعه حاضر نشان داد که یکی از اثرات وین بلاستین بر اپی تلیوم ژرمینال جلوگیری از تکثیر اسپرماتوگونی ها و القاء آپوپتوز می باشد که موجب آسیب جدی اپی تلیوم ژرمینال می شود. همچنین این مطالعه نشان داد که سترورلیکس توانایی جلوگیری از اثرات سوء وین بلاستین را دارد. تحقیق حاضر اولین مطالعه در مورد بررسی بافتی اثرات وین بلاستین بر بیضه و توانایی مهار این اثرات توسط سترورلیکس می باشد. نتایج این مطالعه نشان داد که



مختلف با سلول‌های اسپرماتوژنیک در تماس می‌باشند. داده‌های این مطالعه نشان داد که تعداد سلول‌های سرتولی در گروه‌های تحت درمان با وین‌بلاستین افزایش پیدا کرده بودند. سلول‌های سرتولی تنها سلول‌های سوماتیک در لوله‌های سمینیفر هستند که در ارتباط بسیار نزدیک با سلول‌های ژرمینال هستند و محیط مناسبی را برای تکثیر و حفظ سلول‌های اسپرماتوژنیک ایجاد می‌کنند. بنابراین هرگونه تغییر در این سلول‌ها می‌تواند منجر به ناباروری شود [۳].

افزایش تعداد سلول‌های سرتولی در مطالعه حاضر را می‌توان به دو علت دانست: اولاً از آنجا که در گروه دریافت-کننده وین‌بلاستین قطر لوله‌های سمینیفر به طور معنی-داری کاهش می‌یابد، لذا شاید بتوان استدلال کرد که با توجه به از بین رفتن سلول‌های اسپرماتوژنیک و کاهش قطر لوله‌های سمینیفر، در واقع سلول‌های سرتولی بارزتر، مشخص‌تر و فشرده‌تر دیده می‌شوند که بنظر می‌رسد تعدادشان افزایش پیدا کرده است. ثانیاً همانطور که اشاره شد آپیتوز در شرایط نرمال تعادل بین جمعیت سلول‌های سرتولی و اسپرماتوژنیک را حفظ می‌نماید [۱۸]. درمان با وین‌بلاستین باعث افزایش آپیتوز و در نتیجه کاهش تعداد سلول‌های اسپرماتوژنیک می‌گردد، بنابراین با از بین رفتن سلول‌های ژرمینال، سلول‌های پشتیبان نظیر سرتولی و میوئید برای جبران آسیب پیش آمده فعالیت خود را افزایش می‌دهند و این امر باعث افزایش تولید سلول‌های سرتولی می‌گردد (تکثیر جبرانی).

مطالعه حاضر نشان داد که قطر اپیتیلیوم ژرمینال لوله‌های سمینیفر در گروه‌های آزمایش I نسبت به گروه کنترل کاهش معنی‌داری یافته است. احتمالاً این کاهش قطر می‌تواند تا اندازه‌ای مربوط به تهی شدن لوله‌های سمینیفر از سلول‌های اسپرماتوژنیک و در نهایت چروکیده شدن آنها باشد. کاهش قطر اپیتیلیوم ژرمینال لوله‌های سمینیفر بدنبال شیمی‌درمانی توسط سایر محققین نیز گزارش شده است [۱۶]. بررسی اپیتیلیوم اسپرماتوژنیک در گروه‌های آزمایش II نشان داد که ستروولیکس تا حدودی اثرات سوء وین-

سال ۲۰۰۲ گزارش کردند، آپیتوز به صورت محدود در اسپرماتوژنر نرمال دیده می‌شود [۵، ۱۸]. نقش آپیتوز در اسپرماتوژنر نرمال حذف اسپرماتوگونی‌های ناقص و جلوگیری از انتقال نقص‌های ژنتیکی به نوزاد و یا ایجاد تعادل در بین تعداد سلول‌های ژرمینال و سرتولی می‌باشد [۵]. همسو با این نتایج، برینکورث در سال ۲۰۰۰ نشان داد که بروز ناهنجاری در نوزادان موش‌های تحت درمان با دوزهای بالای سیکلوفسفوماید (از داروهای شیمی‌درمانی)، با کاهش آپیتوز در سلول‌های زاینده همراه است [۱]. نتایج مشابهی پس از مصرف سیس‌پلاتین [۲۰]، سیکلوفسفوماید [۲] و همچنین بعد از پرتو درمانی نیز مشاهده شده است [۷]. همچنین مشخص شده که اسپرماتوسیت‌هایی که توانایی تقسیم می‌توانند خود را از دست می‌دهند توسط آپیتوز حذف می‌گردند. وین‌بلاستین با جلوگیری از پلیمریزاسیون توبولین که در تشکیل دوک-های میتوزی ضروری است، روی فاز M چرخه سلولی (ایترفاز) تأثیر دارد و با ایجاد تغییر فراساختاری در اتصالات کینوتکور-میکروتوبول و همچنین سانتروزوم باعث توقف دوک میتوزی در سلول‌های در حال تقسیم می‌گردد [۴]. در تأیید نقش آپیتوز طی اسپرماتوژنر گزارش شده است که جلوگیری از بروز آپیتوز در موش می‌تواند موجب نازایی شود [۱۸]. آپیتوز در موش بیشتر در سلول‌های اسپرماتوسیت در حال تقسیم انجام می‌گیرد و علاوه بر این در اسپرماتوگونی‌ها هم مشاهده می‌شود و به صورت خیلی محدود در اسپرماتیدها نیز دیده شده است. مطالعه با میکروسکوپ نوری، واکوئل‌های بزرگی را در بین سلول‌های اپی‌تیلیوم ژرمینال نشان داد. به نظر می‌رسد که این فضاهای خالی جای سلول‌های حذف شده به طرق آپیتوز باشند. چنین فضاهایی به دنبال درمان رت‌ها با اشعه نیز گزارش شده است. به نظر می‌رسد سلول‌هایی که روند آپیتوز را طی می‌کنند با ارائه فسفاتیدیل سرین در سطحشان توسط سلول‌های سرتولی شناسایی شده و حذف می‌گردند [۱۹]. سلول‌های سرتولی نقش بسیار مهمی در اسپرماتوژنر نرمال دارند و به طرق



induced male mediated, foetal abnormalities with reduced paternal germ cell apoptosis. *Mutation Research*, 447, 149-154.

2- Cai L., Hales B.F., Robair B. (1997), Induction of apoptosis in Germ Cells of Adult Male Rats after Exposure to Cyclophosphamide. *Biol Reproduction*, 56 (6), 1490-1497.

3- Cheng Yan C., Mruck D.D. (2002), Cell Junction Dynamic in the testis: Sertoli germ cell interaction and male contraceptive development. *Physiol, Rev*, 82, 825-874.

4- Dhamondharan R, Jordan MA, Thrower D. (1995), Vinblastine suppresses dynamics of Individual microtubules in Living Interface Cells. 6, 1215-1229.

5- Francavilla S.P., Abrizio P., Cordeschi G. (2002), Fas expression correlates with human germ cell degeneration in meiotic and Post-meiotic arrest of spermatogenesis. *Molecular Human Reproduction*, 8(3), 213-220.

6- Glode L.M., Robinson J., Gould S.F. (1981), Protection from cyclophosphamide induced testicular damage with an analogue of gonadotropin releasing hormone. *The Lancet*, 23, 1132-34.

7- Hamer G., Roopers-Gajadiea H.L., Gademan I.S., Kal H.B., De Rooij D.G. (2003), Intercellular bridge & apoptosis in clones of male germ cells. *Int J Androl*, 26 (6), 348-530.

8- Hsieh Y., Chang C.H., Tsai H. (2008), Comparisons of different dosages of gonadotropin-releasing hormone (GnRH) antagonist, short-acting form and single, half-dose, long-acting form of GnRH agonist during controlled ovarian hyperstimulation and in vitro fertilization. *Taiwan Journal of Obstetrics and Gynecology*, 47 (1), 64-74.

بلاستین را مهار می‌کند. در تأیید این یافته‌ها اوداگاوا در سال ۲۰۰۱ نشان داد که به دنبال شیمی درمانی، درمان با آنالوگ GnRH موجب بهبودی اسپرماتوژن می‌شود [۲۲] و یا مستریش و همکارانشان در سال ۲۰۰۱ نشان دادند که بدبال اشعه درمانی، درمان با آگونیست‌ها و آنتاگونیست‌های GnRH موجب بهبودی اسپرماتوژن می‌شوند [۱۳]. همچنین نشان داده شده که تجویز ستروولیکس (به عنوان آنتاگونیست GnRH) در موش، قبل از تجویز داروی شیمی درمانی (سیس‌پلاتین) اپتیلیوم زاینده لوله‌های سمینیفر را در مقابل اثرات جانبی دارو حفاظت می‌کند [۱۶].

### نتیجه‌گیری

این مطالعه نشان داد که وین بلاستین هم از نظر کمی و هم کیفی بر روی اسپرماتوژن موش اثرات سوء دارد. مشاهدات میکروسکوپی نشان داد که اثرات سوء وین بلاستین عمدتاً از طریق توقف تقسیم و القاء آپتیوز در سلول‌های ژرمنیال اعمال می‌شود. همچنین مشاهده شد که ستروولیکس تا اندازه‌ای توانایی مهار اثرات وین بلاستین را دارد درمان موش‌ها با ستروولیکس قبل از تزریق وین بلاستین موجب افزایش تکثیر سلول‌های اسپرماتوگونی شد. بطوری که پس از تیمار تعداد سلول‌های اسپرماتوگونی و قطر اپتیلیوم ژرمنیال لوله‌های سمینیفر اختلاف معنی‌داری با گروه کنترل نداشت. بنابراین پیشنهاد می‌شود نقش درمانی ستروولیکس در بهبود اسپرماتوژن افراد کاندید شیمی درمانی مورد توجه قرار گیرد.

### تشکر و قدردانی

با تشکر از حمایت‌های مالی دانشگاه آزاد اسلامی آشتیان، مقاله مذکور استخراج شده از طرح تحقیقاتی با همین نام می‌باشد.

### منابع

- Brinkworth M.H., Nieschlag E. (2000), Association of cyclophosphamide



- changes induced by cisplatin on spermatogenic and myoid cells and basal lamina of seminiferous ducts in the testis of Balb/C mouse. *Veterinary Clinical Pathology*, 6(24), 1665-1674.
- 17- Negoescu A., Guillermet C.H., Lorimier P.H., Robert C., Lantuejoul S., Brambilla E., Labat-Moleur F. (1998), TUNEL apoptotic cell detection in archived paraffin-embedded tissues. *Biochemica*, 3, 36-47.
- 18- Print C.G., Loveland K.L. (2000), Germ Cell Suicide: new insight in to apoptosis during spermatogenesis. *Bio Essay*, 22, 423-430.
- 19- Sawada M., Okudaira Y., Matsui Y. (1985), Cisplatin, vinblastine & Bleomycin therapy of Sac (Endodermal Sinus) Tumor of the ovary. *Gynecologic Oncology*, 20, 162-169.
- 20- Sawheng P., gimmona J., Meistrich M.L., Richburg J.H. (2005), Cisplatin-induced Long term failure of spermatogenesis in Adult CSV/BL/6J mice. *Journal of Andrology*, 26(1), 136-145.
- 21- Sieniawski M., Reineke T., Nogova L., Josting A., Pfistner B., Diehi V. (2008), Fertility in male Patients with advanced Hodgkin lymphoma treated with BEACOPP: a report of the German Hodgkin study group. *Blood*, 111(1), 71-6.
- 22- Udagawa K., Ogawa T., Watanabe T., Yumura Y., Takeda M., Hosaka M. (2001), GnRH analog, leuprorelin acetate, promotes regeneration of rat spermatogenesis after severe chemical damage. *International Journal of Urology*, 8, 615-622.
- 9- Iscowski K.A., Sun E.H., Gondos B. (1991), Morphometric study of the prepubertal rabbit testis: Germ cell numbers and seminiferous tubule dimensions. *The American Journal of Anatomy*, 190, 266-272.
- 10- Kasper D.L., Braunwald E., Fauci A.S., Hauser S.L., Longo D.L., Jameson J.L. (2005), Harrisons, *Principles of Internal Medicine*. 16<sup>th</sup> ed, McGraw Hill, Medical Publishing Division, New York, 114-118.
- 11- Krishna A. (2007), Vinblastine. Tulane University school of Medicine, New Orleans, USA. *Elsevier*, 1-4.
- 12- Lin Y., Wen Y., Chang Y., Seow K., Hsieh B., Hwang J., Tzeng C. (2010), Safety and efficacy of mixing cetrorelix with follitropin alfa: a randomized study. *Fertility and Sterility*, 94(1): 179–183.
- 13- Meistrich M.L., Wilson G., Shuttlesworth G., Huhtaniemi I., Reissmann T. (2001), GnRH agonists and antagonists stimulate recovery of fertility in irradiated LBNF1 rats. *Journal of Andrology*, 22(5), 809-817.
- 14- Mohammadnejad D., Abedelahi A., Soleimanirad J., Mohamadi-roshandeh A., Rashtbar M., Azami A. (2012), Degenerative effect of Cisplatin on testicular germinal epithelium. *Adv Pharm Bull*, 2(2):173-7.
- 15- Mohammadnejad D., Abedolahi A., Rashtbar M. (2013), Protective role of GnRH antagonist on chemotherapy-induced spermatogenesis disorder: A morphological study. *Advanced Pharmaceutical Bulletin*, 3(2):323-8.
- 16- Mohammadnejad D., Soleimanirad J., Mohammadiroshandel A. (2013), Preventive effects of cetrorelix on the